

## ТУРБУЛЕНТНЫЕ ЯВЛЕНИЯ В АТМОСФЕРЕ И ОКЕАНЕ

УДК 621.356

Е.Р. Милютин

ПОМЕХОУСТОЙЧИВОСТЬ ОПТИЧЕСКИХ СИСТЕМ ПЕРЕДАЧИ ИНФОРМАЦИИ  
В ТУРБУЛЕНТНОЙ АТМОСФЕРЕ

Санкт-Петербургский государственный университет телекоммуникаций им. проф. М.А. Бонч-Бруевича

Поступила в редакцию 29.10.98 г.

Принята к печати 4.02.99 г.

Исследуется влияние законов распределения флуктуаций интенсивности лазерного излучения в турбулентной атмосфере на помехоустойчивость оптических систем передачи информации.

В последнее время вновь возрос интерес к атмосферным оптическим системам передачи информации (АОСПИ) [1, 2] и, в связи с этим, к изучению влияния помех на их надежность работы. АОСПИ действуют при наличии в канале распространения аддитивных (фоновых) и мультипликативных помех [3]. В частности, турбулентность атмосферы создает мультипликативную помеху, которая приводит к ряду нежелательных эффектов, в том числе и к флуктуациям интенсивности (замираниям) сигнала, что увеличивает вероятность ошибки в передаваемой информации, ухудшая помехоустойчивость системы. В работе [4] исследовалось влияние законов распределения флуктуаций интенсивности на помехоустойчивость АОСПИ, но при этом были сделаны неправомерные допущения относительно и самих законов, и границ их применения. Поэтому представляется целесообразным, опираясь на современные данные о видах законов распределения, вычислить помехоустойчивость АОСПИ.

Как правило, АОСПИ являются цифровыми системами, использующими энергетический прием двоичных амплитудно-модулированных сигналов, при котором единичные элементы сигнала различаются наличием или отсутствием («пассивная пауза») импульса излучения. В этом случае действие приемника заключается в подсчете числа фотонов на интервале времени, соответствующем двоичной посылке, и сравнении результатов с установленным порогом приемника.

Известно [5], что статистика принимаемых фотонов для многомодового лазера в присутствии фона хорошо описывается законом Пуассона. Для вероятности ложной тревоги получаем [6]:

$$P_{л.т} = 1 - \exp(-n_{\phi}) \sum_{n=0}^{n_{пор}} \frac{n_{\phi}^n}{n!}, \quad (1)$$

где  $n_{\phi}$  – количество фотонов фона.

Количество фотонов фона  $n_{\phi}$  обычно невелико, и порог, обеспечивающий малые вероятности ложной тревоги  $P_{л.т}$  ( $\approx 10^{-4} \div 10^{-8}$ ), не превышает на практике нескольких единиц, тогда как вероятность пропуска сигнальных фотонов зависит от ряда факторов, включающих не только величину порога, но и функцию распределения флуктуаций интенсивности сигнала

$$P_{п.с} = \sum_{n=0}^{n_{пор}} p(n), \quad (2)$$

где  $p(n)$  – вероятность регистрации  $n$  фотонов за время длительности импульса излучения.

Учитывая, что время корреляции замираний в АОСПИ, т.е. время, при котором коэффициент корреляции уменьшается до нулевого уровня, гораздо больше длительности сигнала, получаем

$$P_{п.с} = \sum_{n=0}^{n_{пор}} \int_0^{\infty} p(n/n_0) p(n_0) dn_0, \quad (3)$$

где  $p(n_0)$  – плотность вероятностей числа  $n_0$  фотонов в импульсе излучения.

Для расчета помехоустойчивости приема необходимо знать закон распределения вероятностей флуктуаций интенсивности лазерного излучения. Установлено [7], что универсальным безразмерным параметром, от которого зависит вид закона распределения флуктуаций интенсивности, является дисперсия логарифма интенсивности плоской волны  $\beta_0^2$ , вычисленная в приближении метода плавных возмущений (МПВ):

$$\beta_0^2 = 1,23 C_n^2 k^{7/6} L^{11/6}, \quad (4)$$

где  $C_n^2$  – структурная характеристика показателя преломления, определяющая степень турбулентности;  $k = 2\pi/\lambda$ ,  $\lambda$  – длина волны;  $L$  – длина трассы.

К настоящему времени теоретически и экспериментально доказано [7], что в условиях применимости МПВ, когда  $\beta_0^2 \ll 1$  (область слабых флуктуаций), флуктуации интенсивности принимаемого излучения распределяются по логарифмическому нормальному закону

$$P(I) = \frac{1}{\sqrt{2\pi} \sigma I} \exp \left[ -\frac{1}{2\sigma^2} (\ln I - \Lambda)^2 \right], \quad (5)$$

где  $\sigma^2 = \ln(\sigma_I^2 + 1)$  – дисперсия среднего значения уровня интенсивности;  $\sigma_I^2 = \langle (I - \langle I \rangle)^2 \rangle / \langle I \rangle^2$  – относительная дис-

персия интенсивности;  $\Lambda = \ln \langle I \rangle / (\sigma_I^2 + 1)^{1/2}$  – среднее значение уровня интенсивности;  $\langle \rangle$  означают усреднение.

В пределах области слабых флуктуаций интенсивности установлены следующие связи между  $\sigma_I^2$  и  $\beta_0^2$  [8, 9]:

для плоской волны

$$\sigma_I^2 \cong \beta_0^2, \quad (6)$$

для сферической

$$\sigma_I^2 \cong 0,41 \beta_0^2, \quad (7)$$

для коллимированного пучка при типичных условиях работы АОСПИ ( $\Omega \gg 1$ , где  $\Omega = k a^2/L$ ,  $a$  – радиус передающей антенны)

$$\sigma_I^2 \cong 0,84 \beta_0^2. \quad (8)$$

При дальнейшем увеличении  $\beta_0^2$  на трассе возникают сильные флуктуации интенсивности, вышеприведенные связи между  $\sigma_I^2$  и  $\beta_0^2$  нарушаются и затем наступает явление насыщения флуктуаций, причем было экспериментально установлено [10], что максимальный уровень для плоской волны  $\sigma_I^2 \cong 1,34 \div 1,36$  соответствует  $\beta_0^2 \cong 4$ . Для сферической волны в [11] показано, что величина максимального уровня  $\sigma_I^2$  будет больше, чем для плоской волны. Последующий рост  $\beta_0^2$  приводит к плавному уменьшению  $\sigma_I^2$  в области сильно насыщенных флуктуаций.

Для области сильно насыщенных флуктуаций ранее [8] в качестве закона распределения предлагался логарифмически нормальный закон, но недавняя работа [10] убедительно показала, что для значений  $\beta_0^2$ , лежащих в диапазоне  $36 \div 324$ , экспериментальные данные хорошо аппроксимируются  $K$ -распределением в виде

$$\langle I \rangle P(I) = \frac{2}{\Gamma(y)} y^{(y+1)/2} I^{(y-1)/2} K_{y-1}(2\sqrt{I}y), \quad (9)$$

где  $y = 2/(\sigma_I^2 - 1)$ ;  $y > 0$ ;  $K_\nu(z)$  – функция Макдональда ( $\nu$  – порядок;  $z$  – аргумент функции), причем при  $\sigma_I^2 \rightarrow 1$   $y \rightarrow \infty$  и приходим к экспоненциальному распределению

$$P(I) = \frac{1}{\langle I \rangle} \exp\left(-\frac{I}{\langle I \rangle}\right). \quad (10)$$

Для области  $\beta_0^2 \gg 1$  установлены следующие связи между  $\sigma_I^2$  и  $\beta_0^2$ :

для плоской волны

$$\sigma_I^2 \cong 1 + 0,86 (\beta_0^2)^{-2/5}, \quad (11)$$

для сферической волны

$$\sigma_I^2 \cong 1 + 2,8 (\beta_0^2)^{-2/5}, \quad (12)$$

для коллимированного пучка в зависимости от соотношений между  $\Omega$  и  $\beta_0^2$  связи будут как для плоской или сферической волн.

Подставляя в соотношение (3) выражения (5), (9) и (10) и полагая  $I = n_0$ ,  $\langle I \rangle = n_{cp}$ , где  $n_{cp}$  – среднее число фотонов в импульсе излучения, получим соответственно для логнормального и  $K$ -распределения

$$P_{п.с.}^n = \sum_{n=0}^{n_{пор}} \int_0^\infty \frac{n_0^{n-1}}{\sqrt{2\pi n!} \sqrt{\ln(\sigma_I^2 + 1)}} \times \exp\left\{-n_0 - \frac{\ln \frac{n_0}{n_{cp}} + [\ln(\sigma_I^2 + 1)]^{1/2}}{2 \ln(\sigma_I^2 + 1)}\right\} dn_0, \quad (13)$$

$$P_{п.с.}^K = \sum_{n=0}^{n_{пор}} \int \frac{n_0^n \exp(-n_0)}{n! n_{cp}} \frac{2}{\Gamma(y)} y^{(y+1)/2} (n_0)^{(y-1)/2} K_{y-1}(2\sqrt{n_0 y}) dn_0. \quad (14)$$

Для экспоненциального распределения, после некоторых преобразований [11], имеем

$$P_{п.с.}^3 = \sum_{n=0}^{n_{пор}} \int \frac{n_{cp}^n}{(n_{cp} + 1)^{n+1}}. \quad (15)$$

Следуя [4], помехоустойчивость АОСПИ оценивалась с помощью энергетического параметра – среднего числа фотонов в импульсе излучения, обеспечивающего заданную вероятность ошибки. Поэтому вначале по формуле (1) была определена с помощью таблиц функций Пуассона [12] величина  $n_{пор}$  по заданной вероятности ложной тревоги, которая для удобства приравнивалась к вероятности пропуска сигнала, изменявшейся в пределах от  $10^{-2}$  до  $10^{-6}$ . Число фотонов фона варьировалось от 1 до 10. Затем для всех случаев распределений в пределах их применимости, для чего задавалась величина  $\beta_0^2$ , производился расчет  $n_{cp}$ , которая обеспечивает требуемую вероятность пропуска сигнала для различных  $\sigma_I^2$ .

Некоторые результаты расчета на ЭВМ представлены на рис. 1.

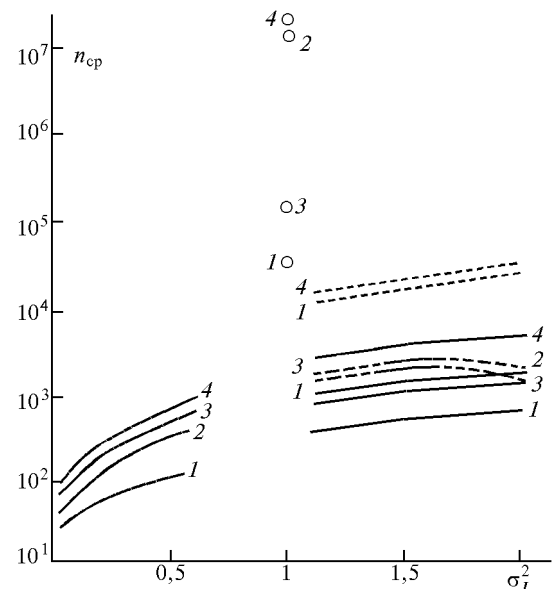


Рис. 1. Зависимость  $n_{cp}$  от  $\sigma_I^2$ : сплошная линия – логнормальное распределение, штриховая –  $K$ -распределение; кружки – экспоненциальное распределение; 1 –  $n_{пор} = 1, \dots, P_{п.с.} = 10^{-4}, \dots, n_{пор} = 6; 2 - n_{пор} = 1, \dots, P_{п.с.} = 10^{-6}, \dots, n_{пор} = 9; 3 - n_{пор} = 10, \dots, P_{п.с.} = 10^{-4}, \dots, n_{пор} = 24; 4 - n_{пор} = 10, \dots, P_{п.с.} = 10^{-6}, \dots, n_{пор} = 28$

Из анализа полученных данных можно сделать ряд выводов.

1. С увеличением фоновой засветки, как и следовало ожидать, увеличивается среднее число фотонов в импульсе излучения для обеспечения требуемой величины  $P_{п.с.}$ .

2. Наличие на трассе с  $\beta_0^2 \gg 1$  замираний сигнала, подчиняющихся  $K$ -распределению, приводит при одинаковых значениях  $n_{\phi}$  и  $P_{п.с.}$  к необходимости обеспечения большего числа фотонов в импульсе излучения для работы АОСПИ, нежели наличие логнормальных замираний.

3.  $K$ -распределение достаточно четко демонстрирует явление насыщения, что наглядно видно на рис. 2, в то время как логнормальное распределение не дает этого эффекта.

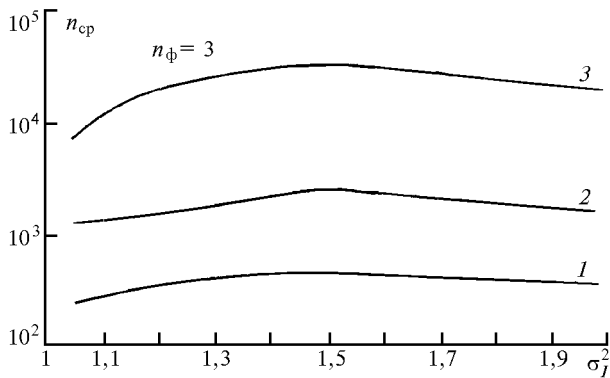


Рис. 2. Зависимость  $n_{cp}$  от  $\sigma_I^2$  для  $K$ -распределения флуктуаций интенсивности оптической волны: кривая 1 –  $P_{п.с.} = 10^{-3}$ ; 2 –  $P_{п.с.} = 10^{-4}$ ; 3 –  $P_{п.с.} = 10^{-6}$

4. Наихудшие условия для приема сигналов создаются в случае наличия на трассе замираний, распределенных по экспоненциальному закону.

В заключение выражаю благодарность В.Ф. Кушнiru и С.А. Попелю за помощь в проведении расчетов.

1. Челусов Е.Н., Шаронин С.Г. Лазерная связь – новый экономичный способ беспроводной связи // Сети и системы связи. 1997. № 2. С. 46–50.
2. Bloom S., Korevaar E. Fiber – free laser communications soar to «unheard of» heights // Photonics Spectra. 1997. V. 31. N 2. P. 115–116.
3. Милютин Е.Р. Методика расчета совместного действия помех в атмосферном канале оптических информационных систем // Радиотехника. 1995. № 11. С. 35–38.
4. Бухинник А.Ю., Кушнir В.Ф., Щелкунов К.Н. Влияние закона распределения замираний на помехоустойчивость оптических линий связи // Изв. вузов СССР. Радиоэлектроника. 1978. Т. 21. № 4. С. 111–114.
5. Гальярди Р.М., Карп Ш. Оптическая связь. М.: Связь, 1978. 424 с.
6. Коржик В.И., Финк Л.М., Щелкунов К.Н. Расчет помехоустойчивости систем передачи дискретных сообщений: Справочник. М.: Радио и связь, 1981. С. 231.
7. Татарский В.И. Распространение волн в турбулентной атмосфере. М.: Наука, 1967. 548 с.
8. Лазерное излучение в турбулентной атмосфере / А.С. Гурвич, А.И. Кон, В.Л. Миронов, С.С. Хмелевцов. М.: Наука, 1976. 277 с.
9. Зуев В.Е., Банах В.А., Покасов В.В. Оптика турбулентной атмосферы. Л.: Гидрометеиздат, 1988. С. 269.
10. Патрушев Г.Я., Ростов А.П., Рубцова О.А. Моменты и плотность вероятностей насыщенных флуктуаций интенсивности в турбулентной атмосфере // Оптика атмосферы и океана. 1995. Т. 8. № 6. С. 819–825.
11. Andrews L.C., Phillips R.L., Shivamoggi B.K. Relations of the parameters of the I-K distribution for irradiance fluctuations to physical parameters of the turbulence // Appl. Optics. 1988. V. 27. N 11. P. 2150–2156.
12. Градштейн И.С., Рыжик П.М. Таблицы интегралов, сумм, рядов и произведений. М.: Физматгиз, 1963. 1100 с.
13. Маккавеев В.И., Морозов Д.Н., Щелкунов К.Н. Таблица функций распределения Пуассона. Л.: Изд-во ЛЭИС. 1971. 30 с.

*E.R. Milutin. The Noise Immunity of Optical Systems for Information Transfer Through Turbulent Atmosphere.*

The noise immunity of optical systems of communication is studied as a function of the distribution laws of the laser radiation intensity fluctuations in the turbulent atmosphere.